

ПРИМЕНЕНИЕ МЕТОДА ДОПОЛНИТЕЛЬНЫХ ВОЗДЕЙСТВИЙ К РЕШЕНИЮ ЗАДАЧИ ОБ ИЗГИБЕ ПЛИТ, ПЛОСКОЙ ЗАДАЧИ И ЗАДАЧИ О КРУЧЕНИИ ПРИЗМАТИЧЕСКИХ СТЕРЖНЕЙ

О. М. Сапонджян

(Ереван)

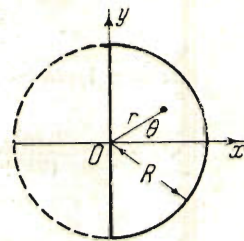
Метод дополнительных воздействий заключается в следующем: предварительно строится общее решение рассматриваемой задачи, которое отражает разрыв непрерывности внутренних сил и перемещений по некоторой линии. Подходящим выбором параметров разрывных величин можно удовлетворить заданным условиям. При этом задача распадается либо на две самостоятельные части, либо приводится к задаче в одной области при наличии вдоль указанной линии или ее некоторой части дополнительных условий, например разреза, защемления, свободного опирания, совместной работы с упругой балкой и т. д.

По идеи метод дополнительных воздействий близок методу фиктивных нагрузок, предложенному Ю. В. Репманом [1], и методу компенсирующих нагрузок, разработанному Б. Г. Кореневым [2].

§ 1. Изгиб заделанной по всему контуру полукруглой плиты при равномерно распределенной нагрузке. Расположим ось x по оси симметрии полукруга, а ось y по диаметру, как показано на фиг. 1.

Дополним (пунктиром) этот полукруг до круга и рассмотрим последний как плиту, назвав ее вспомогательной круглой плитой. На плоскости вспомогательной плиты приложим равномерно распределенную нагрузку с интенсивностью p , а вдоль линии, разделяющей правый и левый полукруги, — попечевые силы интенсивностью

$$q = \sum_{n=0}^{\infty} q_{2n} y^{2n} \quad (1.1)$$



Фиг. 1

Решение задачи для вспомогательной круглой плиты под действием нагрузки p и q и при условии заделки по всему ее контуру можно представить так:

$$w = \frac{pr^4}{64D} + \sum_{n=0}^{\infty} (a_{2n} r^{2n} + b_{2n} r^{2n+2}) \cos 2n\theta \pm$$

$$\pm \sum_{n=0}^{\infty} \frac{(-1)^n c_{2n}}{n+1} \left(\frac{r}{R} \right)^{2n+3} \left[\frac{\cos (2n+1)\theta}{2n+1} + \frac{\cos (2n+3)\theta}{2n+3} \right] \quad (1.2)$$

где w — прогиб, D — жесткость, r, θ — полярные координаты, R — радиус

круга; из двойных знаков верхний относится к области $-1/2\pi \leq \theta \leq 1/2\pi$, а нижний к области $1/2\pi \leq \theta \leq 3/2\pi$

$$c_{2n} = \frac{q_{2n} R^{2n+3}}{16D} \quad (1.3)$$

$$a_0 = \frac{8}{\pi} \sum_0^{\infty} \frac{c_{2k}}{(2k+1)(2k+3)^2} + \frac{pR^4}{64D}, \quad b_0 = -\frac{8}{\pi R^2} \sum_0^{\infty} \frac{c_{2k}}{(2k+1)^2(2k+3)} - \frac{pR^4}{32D} \quad (1.4)$$

$$\begin{aligned} a_{2n} &= \frac{16(-1)^n}{\pi R^{2n}} \sum_{k=0}^{\infty} \frac{c_{2k}}{(2k+1+2n)(2k+3-2n)(2k+3+2n)} \\ b_{2n} &= -\frac{16(-1)^n}{\pi R^{2n+2}} \sum_{k=0}^{\infty} \frac{c_{2k}}{(2k+1-2n)(2k+1+2n)(2k+3+2n)} \end{aligned} \quad (1.5)$$

Параметры c_{2n} (q_{2n}) можно определить из условий заделки прямолинейного края полукруглой плиты:

$$w\left(y, \pm \frac{\pi}{2}\right) = 0, \quad \left(\frac{1}{r} \frac{\partial w}{\partial \theta}\right)_{\theta=\pm \frac{\pi}{2}} = 0 \quad (1.6)$$

В силу симметрии второе условие удовлетворяется тождественно. Из первого после подстановки в него (1.2) получим

$$a_0 = 0, \quad a_2 - b_0 = 0, \quad a_4 - b_2 = -\frac{p}{64D} \quad (1.7)$$

$$a_{2n} - b_{2n-2} = 0 \quad (n = 3, 4, \dots) \quad (1.8)$$

Внеся сюда (1.4), (1.5), приходим к бесконечным системам уравнений:

$$\sum_0^{\infty} \frac{c_{2k}}{(2k+1)(2k+3)^2} = -\frac{p\pi R^4}{512D} \quad (1.9)$$

$$\sum_0^{\infty} \frac{(2k-3)c_{2k}}{(2k+1)^2(2k+3)(2k+5)} = \frac{p\pi R^4}{256D} \quad (1.10)$$

$$\sum_0^{\infty} \frac{c_{2k}}{(2k-1)(2k+3)(2k+5)(2k+7)} = \frac{p\pi R^4}{4096D} \quad (1.11)$$

$$\sum_{k=0}^{\infty} \frac{c_{2k}}{(2k-2n+3)(2k+2n-1)(2k+2n+1)(2k+2n+3)} = 0 \quad (n=3, 4, \dots) \quad (1.12)$$

Из этих уравнений можно с желаемой точностью определить коэффициенты c_0, c_2, c_4, \dots , а затем из (1.4), (1.5) найти коэффициенты a_{2n} и b_{2n} . Таким образом, будет построено решение поставленной задачи. Заметим, что систему (1.9) — (1.12) можно привести к регулярному виду.

Для быстрого достижения желаемой точности выражение (1.2) удобно представить в другом виде; пользуясь равенствами (1.7), (1.8), исключим из (1.2) коэффициенты b_{2n} .

Тогда для прогиба получим при $-1/2\pi \leq \theta \leq 1/2\pi$

$$w = \frac{pr^4}{64D}(1+\cos 2\theta) + a_2 r^2(1+\cos 2\theta) + \sum_{n=2}^{\infty} a_{2n} r^{2n} [\cos 2n\theta + \cos(2n-2)\theta] + \sum_{n=0}^{\infty} \frac{(-1)^n c_{2n}}{n+1} \left(\frac{r}{R}\right)^{2n+3} \left[\frac{\cos(2n+1)\theta}{2n+1} + \frac{\cos(2n+3)\theta}{2n+3} \right] \quad (1.43)$$

Выражение (1.2) при наличии (1.4), (1.5) точно удовлетворяет контурным условиям дугового края полукруга независимо от точности определения коэффициентов c_{2n} .

Выражение же (1.13) точно удовлетворяет условиям прямолинейного края независимо от точности определения коэффициентов c_{2n} и a_{2n} . Поэтому при определении расчетных величин дугового края следует применить выражение (1.2), а при определении указанных величин прямолинейного края — выражение (1.13).

Приводим выражения для расчетных величин.

1. Изгибающий момент на прямолинейном крае

$$M^-(y, \pm \frac{\pi}{2}) = -\frac{py^2}{16} - 4Da_2 - 4D \sum_{n=2}^{\infty} (-1)^n (2n-1) a_{2n} y^{2n-2}$$

При $y=0$

$$M_{\max}^- = -4Da_2 \quad (1.44)$$

2. Изгибающий момент на дуговом крае

$$M^o(R, \theta) = -\frac{pR^2}{4} - 4D \sum_{n=0}^{\infty} (2n+1) b_{2n} R^{2n} \cos 2n\theta - \frac{8D}{R^2} \sum_{n=0}^{\infty} (-1)^n \frac{r_{2n}}{2n+1} \cos(2n+1)\theta \quad (1.45)$$

3. Опорная реакция на прямолинейном крае

$$Q^-(y, \pm \frac{\pi}{2}) = 8D \sum_{n=0}^{\infty} \frac{c_{2n}}{R^{2n+3}} y^{2n} \quad (1.46)$$

При $y=0$

$$Q_{\max}^- = \frac{8D}{R^3} r_0 \quad (1.47)$$

4. Опорная реакция на дуговом крае

$$Q^o(R, \theta) = -\frac{pR}{2} - 4D \sum_{n=0}^{\infty} 2n(2n+1) b_{2n} R^{2n-1} \cos 2n\theta - \frac{8D}{R^3} \sum_{n=0}^{\infty} (-1)^n r_{2n} \cos(2n+1)\theta$$

При $\theta=0$

$$Q^o(R, 0) = -\frac{pR}{2} - 4D \sum_{n=0}^{\infty} 2n(2n+1) b_{2n} R^{2n-1} - \frac{8D}{R^3} \sum_{n=0}^{\infty} (-1)^n c_{2n} \quad (1.48)$$

При $c_4 = c_6 = \dots = 0$ в первом приближении из (1.14) и (1.17) имеем

$$M_{\max}^- = -0.07317 pR^2, \quad Q_{\max}^- = -0.49836 pR$$

Во втором приближении полагаем $c_6 = c_8 = \dots = 0$, тогда

$$M_{\max}^- = -0.07312 pR^2, \quad Q_{\max}^- = -0.49716 pR$$

Пользуясь третьим приближением ($c_8 = c_{10} = \dots = 0$), найдем

$$M_{\max}^- = -0.07312 pR^2, \quad Q_{\max}^- = -0.49705 pR$$

Первое приближение по сравнению со вторым дает погрешность 0.08% для момента M_{\max}^- и 0.26% для опорной реакции Q_{\max}^- . Полагая $c_6 = c_8 = \dots = 0$, из (1.15) и (1.18) найдем

$$M^\circ(R, 0) = -0.05845 pR^2, \quad Q^\circ(R, 0) = -0.41787 pR$$

а при $c_8 = c_{10} = \dots = 0$ получим

$$M^\circ(R, 0) = -0.05842 pR^2, \quad Q^\circ(R, 0) = -0.41230 pR$$

Первый результат по сравнению со вторым дает погрешность 0.05% для момента $M^\circ(R, 0)$ и 1.4% для опорной реакции $Q^\circ(R, 0)$.

Наконец, из (1.13) найдем прогиб в точке $r = \frac{1}{2}R, \theta = 0$.

В первом приближении ($c_4 = c_6 = \dots = 0$) имеем

$$w\left(\frac{R}{2}, 0\right) = 0.001997 \frac{pR^4}{D}$$

При втором приближении ($c_6 = c_8 = \dots = 0$)

$$w\left(\frac{R}{2}, 0\right) = 0.002021 \frac{pR^4}{D}$$

Погрешность равна 1.2%.

Для случая полукруглой плиты, заделанной по дуговому краю и опертой по прямолинейному краю, Б. Г. Галеркин^[3] нашел

$$M^\circ(R, 0) = -0.0756 pR^2, \quad Q^\circ(R, 0) = -0.424 pR, \quad w\left(\frac{R}{2}, 9\right) = 0.0034 \frac{pR^4}{D}$$

§ 2. Изгиб полукруглой плиты свободной (от опор) по прямолинейному краю. Рассмотрим случай равномерно распределенной нагрузки p по всей площади полукруга и равномерно распределенных вдоль прямолинейного края изгибающих моментов m и поперечных сил q . Задачу решаем также с помощью вспомогательной круглой плиты. В этом случае, кроме дополнительных поперечных сил q , приходится вдоль линии $\theta = \pm \frac{1}{2}\pi$ приложить изгибающие моменты. Это приводит к двум совместным системам бесконечных уравнений относительно параметров поперечных сил и изгибающих моментов, т. е. приводит к усложнению решения.

Однако эффективное решение задачи можно получить следующим путем. Примем, что при переходе из области $-\frac{1}{2}\pi \leq \theta \leq \frac{1}{2}\pi$ в об-

ласть $\frac{1}{2}\pi \leq \theta \leq \frac{3}{2}\pi$ через линии $\theta = \pm \frac{1}{2}\pi$ угол наклона упругой поверхности

$$\frac{\partial w}{\partial x} = -\frac{1}{r} \frac{\partial w}{\partial \theta}$$

претерпевает разрыв, который представим в виде

$$\sum_0^{\infty} \beta_{2n} y^{2n}$$

Далее будем предполагать, что при том же переходе через линию $\theta = \pm \frac{1}{2}\pi$ обобщенная перерезывающая сила

$$Q = -D \left[\frac{1}{r} \frac{\partial}{\partial \theta} \left(\frac{\partial^2 w}{\partial r^2} + \frac{1}{r} \frac{\partial w}{\partial r} + \frac{1}{r^2} \frac{\partial^2 w}{\partial \theta^2} \right) + \right. \\ \left. + (1-\sigma) \left(-\frac{2}{r^2} \frac{\partial^2 w}{\partial r \partial \theta} + \frac{2}{r^3} \frac{\partial w}{\partial \theta} + \frac{1}{r} \frac{\partial^3 w}{\partial r^2 \partial \theta} \right) \right]$$

претерпевает разрыв на величину $2q$, а изгибающий момент

$$(M^-)_{\theta=\pm\frac{1}{2}\pi} = -D \left[\frac{1}{r} \frac{\partial w}{\partial r} + \frac{1}{r^2} \frac{\partial^2 w}{\partial \theta^2} + \sigma \frac{\partial^2 w}{\partial r^2} \right]_{\theta=\pm\frac{1}{2}\pi}$$

принимает значение m .

Для простоты положим, что $q = \text{const}$ и $m = \text{const}$. Тогда для прогиба вспомогательной круглой плиты при действии p , $2q$ и при условии, что в сечении $\theta = \pm \frac{1}{2}\pi$ изгибающий момент имеет заданное значение m , получим

$$w = \frac{pr^4}{64D} \left(1 + \frac{1+3\sigma}{3\sigma} \cos 2\theta \right) + \frac{mr^2}{2D(1+\sigma)} \pm \frac{qr^3}{8D} \left(\cos \theta + \frac{1}{3} \cos 3\theta \right) + \\ + \sum_0^{\infty} a_{2n} r^{2n} \left[\cos 2n\theta + \frac{(1-\sigma)n}{(n-1)(1-\sigma)-1-\sigma} \cos (2n-2)\theta \right] \mp \\ \mp \sum_0^{\infty} (-1)^n \frac{[(1+(1-\sigma)(2n+1)]\beta_{2n}}{8(2n+1)} r^{2n+1} \left[\cos (2n+1)\theta + \right. \\ \left. + \frac{(1-\sigma)(2n+1)}{4+(1-\sigma)(2n-1)} \cos (2n-1)\theta \right] \quad (2.4)$$

где из двойных знаков верхние относятся к области $-\frac{1}{2}\pi \leq \theta \leq \frac{1}{2}\pi$, а нижние к области $\frac{1}{2}\pi \leq \theta \leq \frac{3}{2}\pi$.

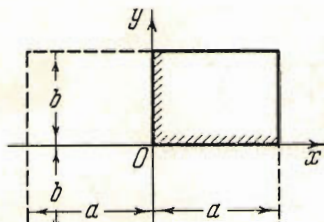
Полученное решение вспомогательного круга распадается на два решения, одно из которых соответствует правому полукругу, а другое левому, при этом на прямолинейных краях обоих полукругов действуют заданные изгибающие моменты m и поперечные силы $\pm q$, где плюс относится к правому, а минус к левому полукругу.

Подчинив решение (2.4) на окружности вспомогательного круга контурным условиям на дуговом крае, найдем коэффициенты a_{2n} и β_{2n} , а следовательно, и решение рассматриваемой полукруглой плиты. Заметим, что при подходящем выборе разрывных величин можно решить задачу об изгибе полукруглой плиты при любых условиях на контуре.

§ 3. Изгиб равномерно нагруженной прямоугольной плиты, заделанной по двум смежным краям и опертой по двум другим. Пусть плита (фиг. 2), опертая по краям $x = a$ и $y = b$ и заделанная по краям $x = 0$ и $y = 0$, находится под действием равномерной нагрузки p .

Рассмотрим вспомогательную прямоугольную плиту (фиг. 2) со сторонами $2a$ и $2b$ под действием равномерно распределенной нагрузки p и дополнительных поперечных сил $q_1(y)$ и $q_2(x)$ соответственно вдоль отрезков $x = 0, -b \leq y \leq b$ и $y = 0, -a \leq x \leq a$. При этом положим

$$q_1(y) = \sum_{n=1}^{\infty} C_n \cos \frac{n\pi}{2b} y, \quad q_2(x) = \sum_{m=1}^{\infty} D_m \cos \frac{m\pi}{2a} x \quad (n, m = 1, 3, \dots) \quad (3.1)$$



Фиг. 2

Полагая вспомогательную плиту опертой по всему контуру, воспользуемся решением Навье. Для упругой поверхности имеем

$$\omega = \frac{1}{D} \sum_{n=1}^{\infty} \sum_{m=1}^{\infty} \left[\left(\frac{m\pi}{2a} \right)^2 + \left(\frac{n\pi}{2b} \right)^2 \right]^{-2} \times \\ \left[\frac{C_n}{a} + \frac{D_m}{b} - \frac{16(-1)^{\frac{m+n}{2}}}{\pi^2 mn} p \right] \cos \frac{m\pi}{2a} x \cos \frac{n\pi}{2b} y \quad (n, m = 1, 3, \dots) \quad (3.2)$$

Чтобы получить решение нашей задачи, надо подчинить ω условиям

$$\omega(0, y) = 0, \quad \omega(x, 0) = 0, \quad \left(\frac{\partial \omega}{\partial x} \right)_{x=0} = 0, \quad \left(\frac{\partial \omega}{\partial y} \right)_{y=0} = 0. \quad (3.3)$$

Последние два условия в силу симметрии удовлетворяются тождественно, а первые два дают

$$\frac{2b^3}{\pi^3 n^3} \left[\operatorname{th}(a\lambda_n) - \frac{a\lambda_n}{\operatorname{ch}^2(a\lambda_n)} \right] C_n + \frac{1}{b} \sum_{m=1}^{\infty} \frac{D_m}{(\nu_m^2 + \lambda_n^2)^2} = \\ = -\frac{64b^2(-1)^{\frac{n-1}{2}}}{\pi} p \left\{ \frac{b^2}{n^2} \left[1 - \frac{1}{\operatorname{ch}(a\lambda_n)} \right] - \frac{\pi a^2}{4} \frac{\operatorname{th}(a\lambda_n)}{\operatorname{ch}(a\lambda_n)} \right\} (n, m = 1, 3, \dots) \quad (3.4)$$

$$\frac{2a^3}{\pi^3 m^3} \left[\operatorname{th}(b\nu_m) - \frac{b\nu_m}{\operatorname{ch}^2(b\nu_m)} \right] D_m + \frac{1}{a} \sum_{n=1}^{\infty} \frac{C_n}{(\nu_m^2 + \lambda_n^2)^2} = \\ = -\frac{64a^2(-1)^{\frac{m-1}{2}}}{\pi} p \left\{ \frac{a^2}{m^2} \left[1 - \frac{1}{\operatorname{ch}(b\nu_m)} \right] - \frac{\pi b^2}{4} \frac{\operatorname{th}(b\nu_m)}{\operatorname{ch}(b\nu_m)} \right\} (n, m = 1, 3, \dots) \quad (3.5)$$

где

$$\lambda_n = \frac{n\pi}{2b}, \quad \nu_m = \frac{m\pi}{2a}$$

В случае квадратной плиты ($a = b$) имеем $D_m = C_m$ и

$$\frac{1}{4\pi^3 n^3} \left[\operatorname{th} \frac{n\pi}{2} - \frac{n\pi}{2 \operatorname{ch}^2 \frac{1}{2} n\pi} \right] C_n + \frac{2}{\pi^4} \sum_{m=1}^{\infty} \frac{C_m}{(m^2 + n^2)^2} = \\ = -\frac{8a(-1)^{(n-1)/2}}{\pi} p \left[\frac{1}{n^2} \left(1 - \frac{1}{\operatorname{ch} \frac{1}{2} n\pi} \right) - \frac{\pi}{4} \frac{\operatorname{th} \frac{1}{2} n\pi}{\operatorname{ch} \frac{1}{2} n\pi} \right]$$

Последняя система регулярна; действительно, отдавая n -й член ряда, получим

$$C_n + 2\alpha_n \sum_{\substack{m=1, 3, \dots \\ m \neq n}}^{\infty} \frac{C_m}{(m^2 + n^2)^2} = \beta_n$$

где

$$\alpha_n = \frac{4n^3}{\pi} \left[\operatorname{th} \frac{n\pi}{2} + \frac{2}{n\pi} - \frac{n\pi}{2 \operatorname{ch}^2 \frac{1}{2} n\pi} \right]^{-1}$$

Известно, что

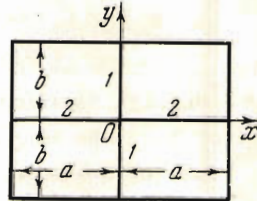
$$\sum_{\substack{m=1, 3, \dots \\ m \neq n}}^{\infty} \frac{1}{(m^2 + n^2)^2} = \sum_{m=1}^{\infty} \frac{1}{(m^2 + n^2)^2} - \frac{1}{4n^4} = \frac{\pi}{8n^3} \operatorname{th} \frac{n\pi}{2} - \frac{\pi^2}{16n^2} \operatorname{sech}^2 \frac{n\pi}{2} - \frac{1}{4n^4}$$

Поэтому

$$2\alpha_n \sum_{m=1, 3, \dots}^{\infty} \frac{1}{(m^2 + n^2)^2} = \frac{\operatorname{th} \frac{n\pi}{2} - \frac{2}{n\pi} - \frac{n\pi}{2} \operatorname{sech}^2 \frac{n\pi}{2}}{\operatorname{th} \frac{n\pi}{2} + \frac{2}{n\pi} - \frac{n\pi}{2} \operatorname{sech}^2 \frac{n\pi}{2}} < 1 \quad (n = 1, 3, \dots)$$

и стремится к единице при $n \rightarrow \infty$. Таким образом, система регулярна.

Отметим, что формулой (3.2) решается также задача об изгибе опертой по всему контуру прямоугольной плиты со сторонами $2a$ и $2b$ (фиг. 3), опирающейся вдоль осей симметрии прямоугольника на упругие балки при действии равномерно распределенной нагрузки. Принципиально решение этой задачи ничем не отличается от предыдущей задачи; надо только условия (3.3) заменить следующими:



Фиг. 3

$$\omega(0, y) = \omega_1, \quad \omega(x, 0) = \omega_2 \quad (3.7)$$

где ω_1 и ω_2 представляют прогибы соответственно первой и второй балок при действии сил $-q_1(y)$ и $-q_2(x)$.

Решая уравнения упругих линий первой и второй балок, получим

$$\omega_1 = -\frac{16b^4}{E_1 J_1 \pi^4} \sum_{n=1, 3, \dots}^{\infty} \frac{C_n}{n^4} \cos \frac{n\pi}{2b} y, \quad \omega_2 = -\frac{16a^4}{E_2 J_2 \pi^4} \sum_{m=1, 3, \dots}^{\infty} \frac{D_m}{m^4} \cos \frac{m\pi}{2a} x$$

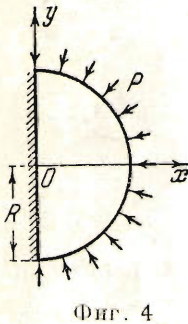
Внеся эти выражения в (3.2) в условия (3.7), получим систему бесконечных уравнений относительно коэффициентов C_n и D_m . В частности, для квадратной плиты при $E_1 J_1 = E_2 J_2$ получим

$$\begin{aligned} & \frac{1}{4\pi^2 n^3} \left[\operatorname{th} \frac{n\pi}{2} - \frac{n\pi}{2} \operatorname{sech}^2 \frac{n\pi}{2} + \frac{8aD}{E_1 J_1 n} \right] C_n + \\ & + \frac{2}{\pi^4} \sum_{m=1, 3, \dots}^{\infty} \frac{C_m}{(m^2 + n^2)^2} = -\frac{8a(-1)^{\frac{m-1}{2}}}{\pi} p \left[\frac{1}{n^2} \left(1 - \frac{1}{\operatorname{ch} \frac{1}{2} n\pi} \right) - \frac{\pi}{4} \operatorname{th} \frac{1}{2} n\pi \right] \end{aligned}$$

Эта система также регулярна.

§ 4. Решение плоской задачи для полукруга. Эту задачу решаем также с помощью вспомогательного круга, полагая, что при переходе из области $-1/2\pi \leq \theta \leq 1/2\pi$ в область $1/2\pi \leq \theta \leq 3/2\pi$ напряжения R_r и R_θ претерпевают разрыв, а напряжение θ_0 и перемещения u и v остаются непрерывными. При таких условиях функция напряжения плоской задачи вспомогательного круга представится в виде

$$\Phi = \sum_0^{\infty} (a_n r^n + b_n r^{n+2}) \cos n\theta + \sum_1^{\infty} (a'_n r^n + b'_n r^{n+2}) \sin n\theta \pm \quad (4.1)$$



Фиг. 4

$$\pm \sum_0^{\infty} \left\{ C_{2n+1} r^{2n+3} \left[\frac{\cos(2n+3)\theta}{2n+3} + \frac{\cos(2n+1)\theta}{2n+2+\kappa} \right] + C_{2n} r^{2n+2} \left[\frac{\sin(2n+2)\theta}{2n+2} + \frac{\sin 2n\theta}{2n+1+\kappa} \right] \right\} \pm \\ \pm \sum_0^{\infty} \left\{ D_{2n} r^{2n+2} \left[\frac{\cos(2n+2)\theta}{2n+2} + \frac{\cos 2n\theta}{2n+1-\kappa} \right] + D_{2n+1} r^{2n+3} \left[\frac{\sin(2n+3)\theta}{2n+3} + \frac{\sin(2n+1)\theta}{2n+2-\kappa} \right] \right\}$$

где $\kappa = 3 - 4\sigma$ при плоской деформации, $\kappa = (3 - \sigma)/(1 + \sigma)$ при плоском напряженном состоянии, σ — коэффициент Пуассона. Здесь последние два ряда дают соответственно разрыв напряжений R_0 и R_r .

При построении решения (4.1) мы пользовались формулами:

для напряжений

$$R_r = \frac{1}{r} \frac{\partial \Phi}{\partial r} + \frac{1}{r^2} \frac{\partial^2 \Phi}{\partial r^2}, \quad \theta_0 = \frac{\partial^2 \Phi}{\partial r^2}, \quad R_\theta = -\frac{\partial}{\partial r} \left(\frac{1}{r} \frac{\partial \Phi}{\partial r} \right) \quad (4.2)$$

для перемещений [4]

$$2\mu(u + iv) = \varphi(z) - \bar{z}\varphi'(z) - \bar{\chi}'(\bar{z}) \quad (4.3)$$

где $\mu = E/[2(1 + \sigma)]$, а $\varphi(z)$ и $\chi(z)$ входят в выражение бигармонической функции

$$2\Phi = z\varphi(z) + \bar{z}\varphi(\bar{z}) + \chi(z) + \bar{\chi}(\bar{z}) \quad (4.4)$$

Подчинив выражение (4.1) на окружности вспомогательного круга контурным условиям дугового края полукруга, а на диаметре $\theta = \pm 1/2\pi$ условиям прямолинейного края, найдем окончательное решение.

Пример. Полукруг равномерно сжат по дуговому краю, смещения на прямолинейном крае равны нулю (фиг. 4).

Решение для этого случая мы получим, полагая в (4.1)

$$a_{2n+1} = a'_n = b_{2n+1} = b'_n = C_{2n} = D_{2n} = D_{2n+1} = 0$$

Тогда

$$\Phi = \sum_0^{\infty} (a_{2n} r^{2n} + b_{2n} r^{2n+2}) \cos 2n\theta \pm \\ \pm \sum_0^{\infty} C_{2n+1} r^{2n+3} \left[\frac{\cos(2n+3)\theta}{2n+3} + \frac{\cos(2n+1)\theta}{2n+2+\kappa} \right] \quad (4.5)$$

Коэффициенты a_{2n} , B_{2n} и C_{2n+1} определяем из условий

$$(R_r)_{r=R} = -p, \quad (\theta_r)_{r=R} = 0, \quad (u)_{\theta=\pm\frac{\pi}{2}} = (v)_{\theta=\pm\frac{\pi}{2}} = 0$$

Пользуясь этими условиями и формулами (4.2) — (4.5), найдем решение рассматриваемой задачи при $-\frac{1}{2}\pi \leq \theta \leq \frac{1}{2}\pi$,

$$\Phi = \sum_1^{\infty} B_{2n} r^{2n} \left[\frac{\cos(2n\theta)}{2n} + \frac{\cos((2n-2)\theta)}{2n-1-z} \right] + \sum_0^{\infty} C_{2n+1} r^{2n+3} \left[\frac{\cos((2n+3)\theta)}{2n+3} + \frac{\cos((2n+1)\theta)}{2n+2+z} \right] \quad (4.6)$$

где

$$B_2 = -\frac{2(z-1)}{\pi} \sum_0^{\infty} (-1)^k (k+1) R^{2k+1} C_{2k+1} \left[\frac{1}{2k+3} - \frac{2k-1}{(2k+1)(2k+2+z)} \right] + \frac{z-1}{2} p \quad (4.7)$$

$$B_{2n} = \frac{8(-1)^n n}{\pi(2n-1)R^{2n-2}} \sum_{k=0}^{\infty} (-1)^k (k+1) R^{2k+1} C_{2k+1} \left[\frac{2k-2n+5}{(2k+3)^2-4n^2} - \frac{2k+1}{(2k+2n+1)(2k+2+z)} \right] \quad (4.8)$$

При этом соответствующая бесконечная система имеет вид

$$\sum_0^{\infty} (-1)^k (k+1) R^{2k+1} C_{2k+1} \left[\frac{z-1}{2k+3} - \frac{(z-1)(2k-1)}{(2k+1)(2k+2+z)} + \frac{4(2k+3)}{(2k+1)(2k+5)} - \frac{4(2k+1)}{(2k+3)(2k+2+z)} \right] = -\frac{\pi(z-1)p}{4} \quad (4.9)$$

$$\sum_{k=0}^{\infty} (-1)^k (k+1) R^{2k+1} C_{2k+1} \left[\frac{2n+1-z}{2k+2n+3} - \frac{(2k+1)(2k-2n-1)(2k+1-z)}{[(2k+1)^2-4n^2](2k+2+z)} - \frac{2(n+1)(2k-2n+3)}{(2k+3)^2-(n+1)^2} + \frac{2(n+1)(2k+1)}{(2k+2n+3)(2k+2+z)} \right] = 0 \quad (4.10)$$

Пользуясь (4.2), (4.6) — (4.10), найдем главные напряжения:

$$\theta_0 \left(0, \frac{\pi}{2} \right) = -\frac{z+1}{z-1} B_2, \quad \theta_0(0, 0) = -\frac{3-z}{z-1} B_2 \quad (4.11)$$

Примем $\sigma = 0.25$ ($z = 2$). Тогда, полагая в первом приближении $C_3 = C_5 = \dots = 0$, найдем

$$\theta_0 \left(0, \frac{\pi}{2} \right) = -1.170 p, \quad \theta_0(0, 0) = -0.390 p$$

Во втором приближении полагаем $C_5 = C_7 = \dots = 0$

$$\theta_0 \left(0, \frac{\pi}{2} \right) = -1.177 p, \quad \theta_0(0, 0) = -0.392 p$$

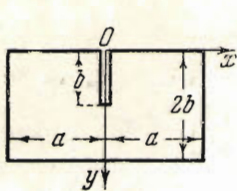
Для крайних случаев вычисления дают

$$\theta_0 \left(0, \frac{\pi}{2} \right) = -\frac{4p}{3}, \quad \theta_0(0, 0) = 0 \quad \text{при } \sigma = 0 \quad (z = 3)$$

$$\theta_0 \left(0, \frac{\pi}{2} \right) = \theta_0(0, 0) = -p \quad \text{при } \sigma = 0.5 \quad (z = 1)$$

§ 5. Кручение призматического стержня прямоугольного сечения с вырезом вдоль половины одной из осей симметрии сечения (фиг. 5).

Рассмотрим вспомогательную область, представленную на фиг. 6. Для этой области функцию напряжения представим в виде



Фиг. 5

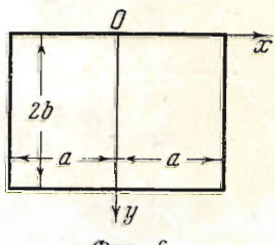
$$\Phi = \Phi_0 + \sum_{n=1}^{\infty} \left(A_n \operatorname{ch} \frac{n\pi}{2b} x + B_n \operatorname{sh} \frac{n\pi}{2b} x \right) \sin \frac{n\pi}{2b} y \pm \sum_{n=1}^{\infty} \left(C_n \operatorname{ch} \frac{n\pi}{2b} x + D_n \operatorname{sh} \frac{n\pi}{2b} x \right) \sin \frac{n\pi}{2b} y \quad (5.1)$$

где верхние знаки относятся к области $0 \leq x \leq a$, а нижние знаки к области $-a \leq x \leq 0$. Функция Φ_0 есть известное решение задачи о кручении стержня прямоугольного сечения. Полагая, что при переходе из области $x > 0$ в область $x < 0$ через линию $x = 0$ функция Φ остается непрерывной, из (5.1) получим $C_n = 0$, чем и обеспечивается непрерывность напряжения X_z в том же переходе. Напряжение же Y_z в указанном переходе претерпевает разрыв:

$$Y_z^+ - Y_z^- = - \sum_{n=1}^{\infty} \frac{n\pi}{b} D_n \sin \frac{n\pi}{2b} y \quad (5.2)$$

Подчинив выражение (5.1) на сторонах прямоугольника условию $\Phi = 0$, имеем

$$B_n = 0, \quad A_n = - D_n \operatorname{th} \frac{n\pi}{2b} a$$



Фиг. 6

Внеся значения C_n , B_n и A_n в (5.1), получим

$$\Phi = \Phi_0 - \sum_{n=1}^{\infty} D_n \operatorname{th} \frac{n\pi}{2b} a \operatorname{ch} \frac{n\pi}{2b} x \sin \frac{n\pi}{2b} y \pm \sum_{n=1}^{\infty} D_n \operatorname{sh} \frac{n\pi}{2b} x \operatorname{sh} \frac{n\pi}{2b} y \quad (5.3)$$

Таким образом, решение (5.3) на сторонах прямоугольника обращается в нуль, а вдоль линии $x = 0$ дает для напряжения Y_z разрыв непрерывности.

Искусственное введение дополнительных напряжений

$$- \sum_{n=1}^{\infty} \frac{n\pi}{b} D_n \sin \frac{n\pi}{2b} y$$

дает возможность выбрать коэффициент D_n так, чтобы на линии $x = 0$ удовлетворялось заданное условие. Для этого достаточно подчинить решение (5.3) еще следующим условиям:

$$\Phi(0, y) = 0 \quad \text{при } 0 \leq y \leq b \quad (5.4)$$

$$Y_z^+ - Y_z^- = 0 \quad \text{при } b \leq y \leq 2b \quad (5.5)$$

Представим функции $\Phi(0, y)$ и $Y_z^+ - Y_z^-$ в интервалах $0 \leq y \leq b$ и $b \leq y \leq 2b$ соответственно в виде

$$\Phi(0, y) = \frac{2}{b} \sum_{k=1}^{\infty} \left[\int_0^b \Phi(0, y) \sin \frac{k\pi}{b} y dy \right] \sin \frac{k\pi}{b} y \quad (5.6)$$

$$(Y_z^+ - Y_z^-) = \frac{2}{b} \sum_{k=1}^{\infty} \left\{ \int_b^{2b} [Y_z^+ - Y_z^-] \sin \frac{k\pi}{b} (y-b) dy \right\} \sin \frac{k\pi}{b} (y-b) \quad (5.7)$$

Тогда условия (5.4) и (5.5) можно, за исключением быть может точки $y = b$, заменить соответственно следующими:

$$\int_0^b \Phi(0, y) \sin \frac{k\pi}{b} y dy = 0, \quad \int_b^{2b} [Y_z^+ - Y_z^-] \sin \frac{k\pi}{b} (y-b) dy = 0 \quad (5.8)$$

Последнее согласно (5.2) можно привести к виду

$$\sum_{n=1}^{\infty} n D_n \int_b^{2b} \sin \frac{n\pi}{b} y \sin \frac{k\pi}{b} (y-b) dy = 0 \quad (5.9)$$

Внеся (5.3) в первое условие (5.8), получим

$$\begin{aligned} \beta_{2k} \operatorname{th} \frac{k\pi}{b} a + \frac{8k(-1)^k}{\pi} \sum_{n=0}^{\infty} \frac{(-1)^n \beta_{2n+1}}{(2n+1-2k)(2n+1+2k)} \operatorname{th} \frac{2n+1}{2b} \pi = \\ = -\frac{8k(-1)^k}{\pi} \sum_{n=1, 3, \dots}^{\infty} \frac{(-1)^{\frac{n-1}{2}}}{n^3(n^2-4k^2)} \left(1 - \frac{1}{\operatorname{th}(n\pi a/2b)} \right) \end{aligned} \quad (5.10)$$

где

$$\beta_k = -\frac{\pi^3 D_k}{32 G \tau b^2} \quad (k = 0, 1, 2, \dots)$$

Из (5.9) имеем

$$\beta_{2k} = \frac{4(-1)^k}{\pi} \sum_{n=0}^{\infty} \frac{(2n+1)(-1)^n \beta_{2n+1}}{(2n+1-2k)(2n+1+2k)} \quad (5.11)$$

Используя β_{2k} из (5.10) и (5.11), получим бесконечную систему

$$\begin{aligned} \sum_{n=0}^{\infty} \frac{(-1)^n \beta_{2n+1}}{(2n+1-2k)(2n+1+2k)} \left[(2n+1) \operatorname{th} \frac{k\pi}{b} a + 2k \operatorname{th} \frac{2n+1}{2b} \pi a \right] = \\ = -2k \sum_{n=1, 3, \dots}^{\infty} \frac{(-1)^{\frac{n-1}{2}}}{n^3(n^2-4k^2)} \left(1 - \operatorname{sech} \frac{n\pi}{2b} a \right) \end{aligned} \quad (5.12)$$

Эта система при $a \geq b$ приводится к регулярному виду.

Покажем это для случая бесконечной полосы ($a/b \rightarrow \infty$). Тогда из (5.12) имеем

$$\sum_{n=0}^{\infty} \frac{(-1)^n \beta_{2n+1}}{2n+1-2k} = \frac{\pi^3}{32} \left[\frac{1}{2k} + \frac{1-(-1)^k}{\pi^2 k^3} \right] \quad (5.13)$$

Исключив коэффициент β_1 и обозначив

$$4(-1)^n n \beta_{2n+1} = X_{2n+1} \quad (n = 1, 2, \dots) \quad (5.14)$$

приходим к регулярной системе^[5]

$$\sum_{n=1}^{\infty} \frac{X_{2n+1}}{(2n-1-2k)(2n+1-2k)} = \quad (k = 1, 2, \dots)$$

$$= \frac{\pi^3}{32} \left\{ \frac{1}{2k(k+1)} + \frac{(2k+1)[1+(-1)^k]}{\pi^2(k+1)^3} - \frac{(2k-1)[1-(-1)^k]}{\pi^2 k^3} \right\} \quad (5.15)$$

$$\beta_1 = \frac{1}{4} \sum_{n=1}^{\infty} \frac{X_{2n+1}}{n(2n-1)} - \frac{\pi^3}{32} \left(\frac{1}{2} + \frac{2}{\pi^2} \right) \quad (5.16)$$

Решение (5.3) в случае бесконечной полосы принимает вид

$$\Phi = G\tau \left(by - \frac{y^2}{2} \right) + \frac{32G\tau b^2}{\pi^3} \sum_{n=1}^{\infty} \beta_n \exp \frac{-n\pi x}{2b} \sin \frac{n\pi}{2b} y \quad (0 \leq x \leq \infty) \quad (5.17)$$

Эта формула показывает, что влияние разреза затухает по мере удаления от места разреза.

Из (5.15) с желаемой точностью можно определить ряд коэффициентов X_3, X_5, \dots ; далее, из (5.16), (5.14) и (5.11) найдем β_1, β_{2n+1} и β_{2n} . Внеся значение этих коэффициентов в (5.17), получим окончательное решение для случая бесконечной полосы (фиг. 7). Приводим некоторые вычисленные значения напряжений X_2 и Y_2 .

Полагая $X_7 = X_9 = \dots = 0$, имеем

$$X_2(0, 0) = -0.0048 G\tau b \approx 0$$

$$X_2(0, 2b) = -1.6256 G\tau b,$$

$$Y_2(0, b/2) = -1.2121 G\tau b$$

Полагая $X_9 = X_{11} = \dots = 0$, найдем

$$X_2(0, 2b) = -1.7168 G\tau b$$

$$Y_2(0, b/2) = -1.2532 G\tau b$$

Отметим, что в точке $x = 0, y = b$ напряжения бесконечны.

Значения жесткости при кручении квадратного сечения при наличии разреза будет $C = 0.0837(2b)^4 G$, что меньше жесткости квадратного сечения без разреза в 1.7 раза.

Поступила в редакцию

20 V 1949

Ереванский политехнический

институт

ЛИТЕРАТУРА

- Рейман Ю. В. Общий метод расчета тонких плит. Сб. Пластики и обложки. Госстройиздат. 1939.
- Коренев Б. Г. Метод компенсирующих нагрузок в приложении к задачам о равновесии, колебаниях и устойчивости плит и мембран. ПММ. 1940. Т. IV.
- Галеркин Б. Г. Упругие тонкие плиты. Госстройиздат. Л.—М. 1933.
- Мусхелишвили Н. И. Некоторые задачи теории упругости. Л. 1933.
- Канторович Л. В., Крылов В. И. Методы приближенного решения уравнений в частных производных. ОНТИ. Л.—М. 1936.